大孔吸附树脂纯化紫菀总黄酮工艺

李洪娟*, 侯桂革, 李园园. 赵峰, 丛 蔚. 辛文好. 郝聚伟. 王春华* (滨州医学院药学院,山东烟台 264003)

摘要:目的 探讨紫菀总黄酮的大孔吸附树脂纯化工艺。方法 通过静态吸附解吸实验考察总黄酮在 D101-I、HPD-300、HPD-450、HPD-600、NKA-9、HPD-826 型大孔吸附树脂上的吸附和解吸能力, 筛选最佳树脂, 考察其吸附动力 学行为,绘制吸附等温线。然后,通过动态吸附解吸实验考察最佳分离工艺。结果 HPD-300 树脂具有最强的吸附和 解吸能力。总黄酮吸附动力学行为符合准二级动力学模型,吸附等温数据符合 Langmuir、Freundlich 模型。最佳条件 为上样质量浓度 60 mg/mL,上样体积 7 BV, 先用 5 BV 蒸馏水冲洗杂质,再用 5 BV 50% 乙醇洗脱,纯化后总黄酮纯度 由 2.62% 提高到 40.01%, 收率为 81.25%。结论 HPD-300 型大孔吸附树脂可有效纯化紫菀总黄酮。

关键词:紫菀;总黄酮;纯化;大孔吸附树脂

中图分类号: R284.1 文献标志码: A

doi:10.3969/j.issn.1001-1528.2019.03.004

文章编号: 1001-1528(2019)03-0501-05

Purification process for total flavonoids in *Asteris Radix* et *Rhizoma* with macroporous absorption resin

LI Hong-juan*, HOU Gui-ge, ZHAO Feng, CONG Wei, XIN Wen-yu, LI Yuan-yuan, WANG Chun-hua* HAO Ju-wei.

(School of Pharmacy, Binzhou Medical University, Yantai 264003, China)

KEY WORDS: Asteris Radix et Rhizoma; total flavonoids; purification; macroporous absorption resin

紫菀是菊科紫菀属植物紫菀 Aster tataricus L. f. 的干燥根和根茎, 功效润肺下气、化痰止咳, 临床 上常用于治疗痰多咳喘、痰中带血、新久咳嗽等症 状[14]。研究表明、紫菀中镇咳祛痰的药效物质包 括紫菀酮、木栓醇等三萜皂苷类,以及槲皮素、木 犀草素、橙皮苷、山柰酚、芹菜素等黄酮类[5-6]。

近年来,关于紫菀提取物药理活性的研究较 多,但鲜有总黄酮纯化工艺的报道。大孔吸附树脂 是一种高分子吸附材料,具有价廉、吸附性能好、 能反复使用等优点, 广泛应用于中药及复方中化学 成分的分离与精制[7-13]。本实验探讨紫菀总黄酮的 大孔吸附树脂纯化工艺,为该成分进一步应用提供 依据。

1 材料

QYC-200 恒温振荡器 (上海福玛实验设备有

限公司); SHZ-D(Ⅲ)循环水式真空泵(巩义市 予华仪器有限责任公司); 722N 紫外-可见分光光 度计(上海仪电分析仪器有限公司); KQ-400DB 数控超声波清洗器 (昆山市超声仪器有限公司); EL204 电子天平「梅特勒-托利多仪器(上海)有 限公司]。

紫菀提取物(自制,总黄酮含有量2.62%); 芦丁对照品(含有量大于98%)购于上海阿拉丁 生化科技股份有限公司; D101-I 型大孔吸附树脂 购于郑州勤实科技有限公司: HPD-300、HPD-450、HPD-600、HPD-826 型大孔吸附树脂购于沧 州宝恩吸附材料科技有限公司; NKA-9 型大孔吸 附树脂购于天津南开和成科技有限公司, 物理参数 见表 1。

收稿日期: 2018-10-30

基金项目: 国家自然科学基金项目 (81703391); 烟台市科技计划资助项目 (2016ZH078)

作者简介: 李园园 (1991—), 女, 硕士生, 研究方向为药物化学。Tel: 18865625667, E-mail: 761284163@qq.com

*通信作者: 李洪娟 (1981—), 女, 博士, 研究方向为天然药物化学。Tel; (0535) 6913406, E-mail; lhjczb@ 163.con

王春华 (1964—), 女,硕士生导师,研究方向为药物化学。Tel: (0535) 6913406, E-mail: chunhuawang508@126.com

Tab. 1 Physical parameters for macroporous absorption resins

型号	极性	平均孔径/nm	比表面积/(m²·g ⁻¹)
D101-I	非极性	_	≥650
HPD-300	非极性	5~5.5	800~870
HPD-450	中极性	9~11	500~550
HPD-600	极性	8	550~600
NKA-9	极性	15. 5 ~ 16. 5	170~250
HPD-826	氢键	9~10	500~550

2 方法

- 2.1 总黄酮含有量测定 参照文献 [14] 方法并 进行修正,以芦丁为对照品,紫外分光光度法测定 总黄酮含有量。
- 2.1.1 线性关系考察 精密称取干燥后的芦丁对 照品适量,60% 甲醇溶解定容于25 mL 量瓶中,精 密吸取适量置于25 mL量瓶中,加入蒸馏水至 6 mL, 再加入5%亚硝酸钠溶液1 mL, 摇匀,接着 加入 10% 硝酸铝溶液 1 mL, 充分摇匀后静置 6 min, 最后加入 4% 氢氧化钠溶液 10 mL, 定容, 摇匀,静置 15 min,于 510 nm 波长处测定吸光度。 以对照品溶液质量浓度为横坐标 (X), 吸光度为 纵坐标 (A) 进行回归,得方程为 A = 0.0127X -0.023 4 (R^2 = 0.999 6), 在 12.61 ~ 75.65 μg/mL 范围内线性关系良好。
- 2.1.2 供试品溶液制备 精密称取提取物 5 份, 每份 2.0 g, 加入 50 mL 蒸馏水超声溶解, 过滤, 即得。
- 2.1.3 精密度试验 精密吸取供试品溶液 1.0 mL, 按 "2.1.1" 项下方法测定吸光度 5 次, 测得其 RSD 为 1.17%, 表明仪器精密度良好。
- 2.1.4 重复性试验 精密吸取供试品溶液 1.0 mL, 按 "2.1.1" 项下方法测定吸光度, 测得 其 RSD 为 0.87%, 表明该方法重复性良好。
- 2.1.5 稳定性试验 精密吸取供试品溶液 1.0 mL, 按 "2.1.1" 项下方法于 0、15、30、45、 60、90、120、180 min 测定吸光度, 测得其 RSD 为1.44%,表明溶液在3h内稳定性良好。
- 2.1.6 加样回收率试验 精密吸取含有量已知的 供试品溶液 6 份,每份 1.0 mL,精密加入芦丁对 照品溶液 0.5 mL, 按 "2.1.1" 项下方法测定吸光 度, 计算回收率。结果, 芦丁平均加样回收率为 98.03%, RSD 为 1.33%。
- 2.2 静态吸附解吸实验 将预处理好的树脂滤干 表面水分后称取 2.0 g, 置于 100 mL 具塞锥形瓶

中,加入提取物溶液,于恒温振荡器中连续振摇 12 h (25 ℃、150 r/min),吸附完成后过滤,测定 总黄酮质量浓度,按照公式 $Q_e = \frac{(C_0 - C_e)V_0}{W}$ 计算

树脂吸附量。吸附饱和后的树脂,先用蒸馏水 100 mL洗除表面样品, 再加入80% 乙醇50 mL, 恒 温振荡器中振摇进行解吸,条件同上,解吸完成后 过滤,测定解吸液中总黄酮质量浓度,按照公式

$$Q_{\mathrm{d}} = \frac{C_{\mathrm{d}}V_{\mathrm{d}}}{W}$$
、 $D = \left[\frac{C_{\mathrm{d}}V_{\mathrm{d}}}{\left(C_{0} - C_{\mathrm{e}}\right)V_{0}}\right] \times 100\%$ 计算树脂解

吸量和解吸率。其中, Q_a 为树脂吸附量, C_0 、 C_a 分别为吸附前、后吸附液中总黄酮质量浓度, V。 为吸附液体积,W为树脂质量,Q。为树脂解吸量, D 为解吸率, C_a 为解吸液中总黄酮质量浓度, V_a 为解吸液体积。

2.3 吸附动力学实验 称取 HPD-300 树脂 2.0 g, 按"2.2"项下方法吸附,在不同吸附时间取样, 测定总黄酮质量浓度, 计算吸附量, 以吸附时间为 横坐标,吸附量为纵坐标绘制吸附动力学曲线,用 准一级、准二级动力学模型和颗粒内扩散模型对数 据进行拟合,公式分别为 $ln(Q_e - Q_t) = lnQ_e -$

$$K_1 t$$
、 $\frac{t}{Q_t} = \frac{1}{K_2 Q_e^2} + \frac{t}{Q_e}$ 、 $Q_t = K_i t^{0.5} + C_o$ 其中, Q_t 、

- Q_e 分别为在吸附时间 t、平衡时总黄酮吸附量, K_1 、 K_2 、 K_i 分别为准一级、准二级动力学模型和 颗粒内扩散模型速率常数:C为颗粒内扩散模型 常数。
- 2.4 吸附等温线实验 称取 HPD-300 树脂 2.0 g, 置于 100 mL 具塞锥形瓶中, 加入不同质量浓度提 取物溶液 50 mL, 在 25~45 ℃下于恒温振荡器中振 摇吸附,吸附完成后测定总黄酮质量浓度,计算吸 附量, 绘制吸附等温线, 通过 Langmuir、Freundlich
- 吸附等温模型进行拟合,公式分别为 $\frac{C_e}{Q_e} = \frac{C_e}{Q_{max}}$ +

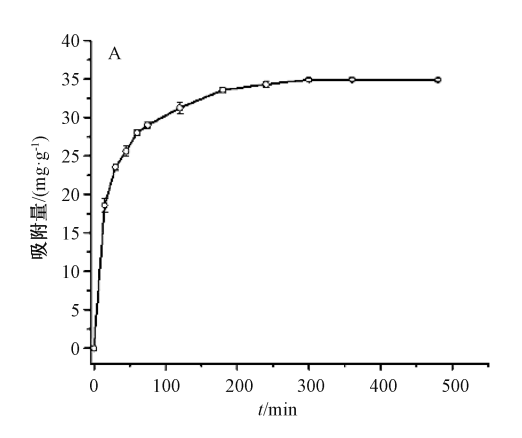
Vol. 41 No. 3

 $\frac{1}{Q_{\text{max}}K_{\text{L}}}$ 、 $\ln Q_e = \frac{1}{n} \cdot \ln C_e + \ln K_{\text{F}}$ 。其中, Q_{max} 为树脂最大量, K_{L} 为 Langmuir 常数, K_{F} 为 Freundlich 常数,1/n 为吸附指数。

2.5 动态吸附解吸实验 称取 HPD-300 树脂 3份,每份 15 g,湿法装入 3 根色谱柱中,取 40、60、80 mg/mL 提取物溶液,以 2 BV/h 体积流量上样,每1 BV 收集 1 份流出液,测定总黄酮质量浓度,绘制泄漏曲线。然后,吸附饱和后的树脂柱,先用 5 BV 蒸馏水洗脱未吸附的样品及杂质,再依次用 10%、50%、70% 乙醇和纯乙醇各 5 BV 洗脱,每1 BV 收集 1 份洗脱液,测定总黄酮质量浓度,绘制洗脱曲线。

3 结果

- 3.1 静态吸附解吸实验 图 1 显示, HPD-300、D101-I 树脂为非极性树脂, HPD-600、NKA-9 树脂为极性树脂,均对总黄酮具有较好的吸附效果,其中 HPD-300 树脂吸附能力最强,可能与它有较大的比表面积,能提供更多吸附位点有关,而且解吸能力也最强,故选择其用于分离。
- 3.2 吸附动力学实验 图 2A 显示, 随着吸附时



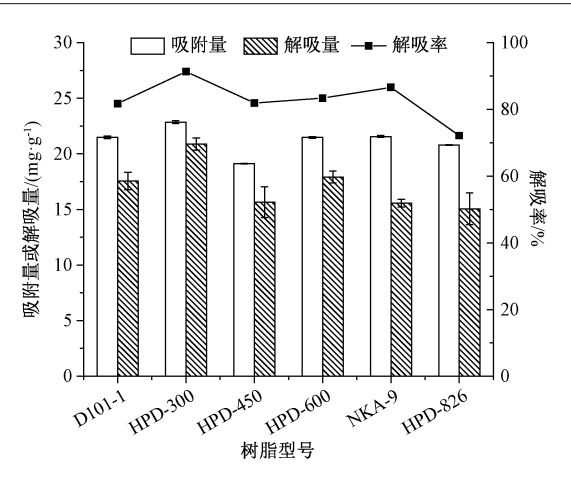


图 1 静态吸附解吸实验结果

Fig. 1 Results of static absorption/desorption tests

间延长总黄酮吸附量不断增加,在0~120 min 上升幅度较大,可能是由于开始时树脂表面活性吸附位点较多,吸附速率较快,之后逐渐减少,黄酮从树脂表面进入树脂内部孔径时受到一定阻力,吸附速率开始减慢,约在240 min 左右达到平衡。图2B显示,颗粒内扩散呈现多线性阶段,而且拟合曲线没有通过原点,表明吸附速率是由液膜扩散和颗粒内扩散步骤共同控制。

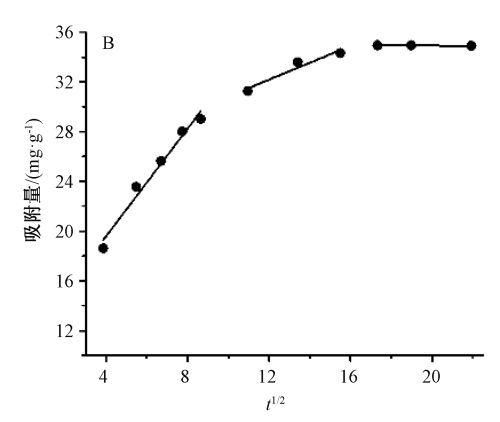


图 2 吸附动力学曲线 (A) 和颗粒内扩散模型拟合曲线 (B)

Fig. 2 Kinetic curve for absorption (A) and fitting curve for intraparticle diffusion model (B)

然后,通过准一级、准二级动力学模型进行拟合,结果见表2。由表可知,总黄酮吸附更符合准

二级动力学模型。

表 2 总黄酮吸附动力学参数

Tab. 2 Absorption kinetics parameters for total flavonoids

模型	$Q_{\mathrm{e}}/(\mathrm{mg}\!\cdot\!\mathrm{g}^{-1})$	K_1/K_2	R^2
准一级动力学	17. 71	0.013 8	0. 994 5
准二级动力学	36. 49	0.0016	0. 999 7

3.3 吸附等温线实验 图 3 显示, 吸附温度为 25 ℃时总黄酮吸附量最高, 45 ℃时最低, 表明低温有利于吸附, 即为放热过程; 同一温度下随着质

量浓度升高,总黄酮吸附量逐渐增加,说明样品质量浓度对树脂吸附能力也有较大影响。

然后, 通过 Langmuir、Freundlich 吸附等温模

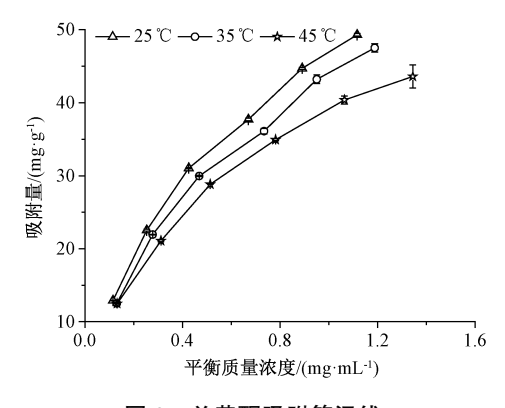


图 3 总黄酮吸附等温线

Fig. 3 Absorption isotherms for total flavonoids

型进行拟合,结果见表 3。由表可知,总黄酮吸附同时符合 2 种模型,表明可能为单分子层吸附;在Freundlich 模型中,n>1 时为优惠吸附,n<1 时为非优惠吸附,而本实验中所有 n 均>1,表明该成分吸附为优惠吸附。

3.4 泄漏曲线 一般认为,当流出液中总黄酮浓度达到上样液中其浓度的 1/10 时,即达到泄漏点。图 4显示,提取物质量浓度为 40 mg/mL 时,总黄酮在树脂上的泄漏点为 11 BV;为 60 mg/mL 时,泄漏点为 8 BV;为 80 mg/mL 时,泄漏点为 3 BV,但此时总黄酮溶解性变差。为了节省上样时间,提

表 3 总黄酮吸附等温参数

Tab. 3 Absorption isothermal parameters for total flavonoids

模型	温度/K	回归方程	$Q_{ m max}$	$K_{ m L}$	R^2
Langmuir	298	$C_e/Q_e = 0.0137C_e + 0.0078$	72. 992 7	1. 756 4	0. 992 5
	308	$C_e/Q_e = 0.0139C_e + 0.0090$	71. 942 4	1. 544 4	0. 989 0
	318	$C_{\rm e}/Q_{\rm e} = 0.016 \ 3C_{\rm e} + 0.009 \ 2$	61. 349 7	1.7717	0. 995 7
Freundlich	298	$\ln Q_{\rm e} = 0.584 \ 0 \ln C_{\rm e} + 3.872 \ 8$	48. 076 8	1.712 3	0. 992 1
	308	$\ln Q_{\rm e} = 0.595 \ 0 \ln C_{\rm e} + 3.794 \ 0$	44. 433 8	1.6807	0.9907
	318	$\ln Q_{\rm e} = 0.545 \ 1 \ln C_{\rm e} + 3.667 \ 0$	39. 134 3	1. 834 5	0. 992 5

高树脂利用率,并避免样品溶液浪费,选择60 mg/mL作为上样质量浓度,上样体积7 BV。

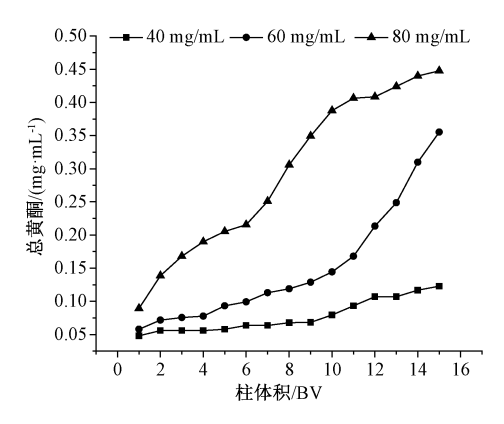


图 4 总黄酮泄漏曲线

Fig. 4 Leakage curves for total flavonoids

3.5 洗脱曲线 吸附饱和后的 HPD-300 树脂, 先用 5 BV 蒸馏水洗脱未吸附样品和部分水溶性杂质, 再用不同体积分数乙醇洗脱, 以洗脱液体积为横坐标, 洗脱液中总黄酮质量浓度为纵坐标绘制洗脱曲线, 见图 5。由图可知, 30%、70% 乙醇及纯乙醇洗脱液中总黄酮质量浓度很低, 无法破坏树脂和其之间的吸附作用力, 该成分主要集中在 50% 乙醇洗脱液中, 表明其洗脱能力较强。为了节省溶剂,

提高总黄酮纯度,选择 50% 乙醇作为洗脱溶剂, 上样体积 5 BV。

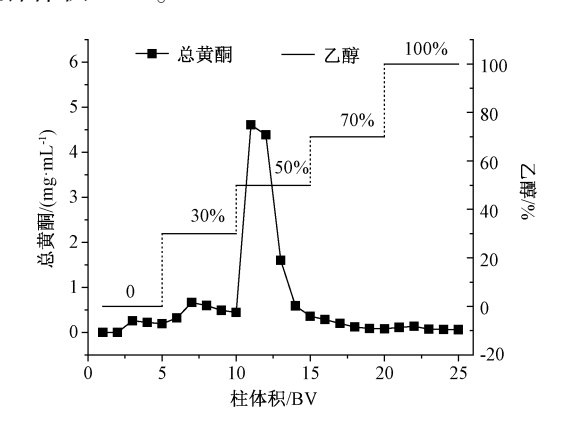


图 5 总黄酮洗脱曲线

Fig. 5 Elution curves for total flavonoids

3.6 验证试验 将7BV提取物溶液 (60 mg/mL) 上样到HPD-300 树脂柱上吸附,吸附完成后先用5BV蒸馏水洗脱杂质,再用5BV50% 乙醇洗脱,收集洗脱液,减压蒸馏回收溶剂得纯化产物,测定总黄酮含有量。结果,该成分含有量由2.62%提高到40.01%,较纯化前提高了15倍,收率为81.25%,表明HPD-300 树脂纯化效果良好,可将其他非黄酮类杂质除去。

4 结论

本实验显示,HPD-300 型大孔吸附树脂具有最大比表面积,表现出较好的吸附性能;紫菀总黄酮吸附过程符合准二级动力学方程,由液膜扩散和颗粒内扩散步骤共同控制;低温有利于吸附,为放热反应;吸附既符合 Langmuir 模型,又符合 Freundlich 模型,可能为单分子层吸附和优惠吸附;最佳条件为上样质量浓度 60 mg/mL,上样体积7 BV,先用5 BV 蒸馏水冲洗杂质,再用5 BV 50%乙醇洗脱,纯化后总黄酮纯度由 2.62% 提高到40.01%,收率为81.25%。

综上所述,该方法合理有效,在节省时间和溶 剂的同时可获得高纯度紫菀总黄酮,适合该成分的 规模化制备。

参考文献:

- [2] Liu X D, Cao P P, Zhang C F, et al. Screening and analyzing potential hepatotoxic compounds in the ethanol extract of Asteris Radix by HPLC/DAD/ESI-MSⁿ technique [J]. J Pharm Biomed Anal, 2012, 67-68; 51-62.
- [3] 谈 静,盛 蓉,宋 英.咳喘口服液中紫菀的提取工艺研究[J].中成药,2008,30(11):1707-1708.

- [4] 林桂梅,来有雪,张子枭,等.蜜制紫菀饮片质量标准的优化研究[J]. 时珍国医国药,2017,28(6):1350-1352.
- [5] 王甫成,夏成凯,栗进才,等. HPLC 同时测定紫菀中5种 黄酮类成分[J]. 中成药, 2012, 34(2): 306-309.
- [6] 王 丹, 谭忠德, 王 瑛. UV 法测定紫菀中总黄酮类成分的含量[J]. 吉林医药学院学报, 2014, 35(1): 33-34.
- [7] 王小芳, 张喜民, 邓月婷, 等. 大孔树脂分离纯化松潘乌头 总生物碱研究[J]. 中成药, 2014, 36(4): 860-864.
- [8] 李 岩,赵 欣,李晓静,等. 大孔树脂分离纯化天仙子总生物碱的研究[J]. 中成药, 2015, 37(1); 89-94.
- [9] 张若洁,徐永霞,王鲁峰,等.大孔树脂纯化芦笋总皂苷的工艺研究[J].中草药,2012,43(6):1097-1100.
- [10] 兰艳素,李长江,潘 乐. 大孔树脂纯化广豆根总黄酮工艺的优化[J]. 中成药, 2016, 38(7): 1644-1647.
- [12] Ren J, Zheng Y, Lin Z, et al. Macroporous resin purification and characterization of flavonoids from Platycladus orientalis (L.) Franco and their effects on macrophage inflammatory response[J]. Food Funct, 2017, 8(1): 86-95.
- [13] Wan P, Sheng Z, Han Q, et al. Enrichment and purification of total flavonoids from Flos Populi extracts with macroporous resins and evaluation of antioxidant activities in vitro [J]. J Chromatogr B Analyt Technol Biomed Life Sci, 2014, 945-946; 68-74.
- [14] 王 丹, 谭忠德, 王 瑛. UV 法测定紫菀中总黄酮类成分的含量[J]. 吉林医药学院学报, 2014, 35(1): 33-34.